

## КРАТКИЕ СООБЩЕНИЯ

УДК 537.312.62

© 1993

ДВОЙНОЕ НИЗКОПОЛЕВОЕ ПОГЛОЩЕНИЕ  
В МОНОКРИСТАЛЛАХ ВТСП*С.С.Ищенко, Н.П.Баран, С.М.Окулов, И.П.Ворона, М.И.Заричкий*

В работах [1–3] сообщалось о наблюдении в высокотемпературных сверхпроводниках (ВТСП) нового явления — двойного СВЧ-ВЧ поглощения (или двойного низкополевого поглощения — ДНП). Его суть состоит в изменении величины микроволнового низкополевого поглощения (МНП) при воздействии на образец ВЧ полем. Это своеобразный аналог двойного электронно-ядерного резонанса (ДЭЯР). Явление ДНП интересно тем, что оно наблюдается только в сверхпроводящей фазе и непосредственно связано с особенностями взаимодействия переменных полей со сверхпроводниками второго рода. До настоящего времени ДНП наблюдалось только в керамиках ВТСП. Отсутствие ориентационных зависимостей, а также нестабильность структуры керамических ВТСП затрудняли изучение указанного явления. Ниже сообщается о первом наблюдении и исследовании ДНП в монокристаллах ВТСП, где обнаружены качественно новые особенности.

Измерения проведены с помощью супергетеродинного спектрометра ДЭЯР трехсантиметрового диапазона ( $\nu_{\text{СВЧ}} = 9400 \text{ МГц}$ ) при  $T = 77 \text{ К}$ . Исследованы монокристаллы металлооксидов  $\text{Y}-\text{Ba}-\text{Cu}-\text{O}$  ( $T_c = 92 \text{ К}$ ), которые имели орторомбическую структуру  $Pmm(D_{2h})$ :  $a = 3.82 \text{ \AA}$ ,  $b = 3.89 \text{ \AA}$ ,  $c = 11.68 \text{ \AA}$ .

В экспериментах на образец, помещенный в СВЧ резонатор спектрометра и подверженный воздействию микроволнового поля ( $H_{\text{СВЧ}}$ ), дополнительно подавалось ВЧ поле ( $H_{\text{ВЧ}}$ ), направленное перпендикулярно постоянному полю  $H$ .  $H_{\text{ВЧ}}$  модулировалось с частотой  $\Omega = 78 \text{ Гц}$ . Сигналы-отклики усиливались на частоте модуляции и синхронно детектировались. На ленте самописца записывалось изменение амплитуды сигналов-откликов ( $I_{\text{ДНП}}$ ) при развертке поля  $H$ .

Вид зарегистрированных сигналов при различных ориентациях образца в магнитном поле показан на рис. 1. Как следует из рис. 1, в монокристалле в отличие от ВТСП керамики, имеются два типа сигналов ДНП: 1) резко уменьшающийся с увеличением  $H$ , 2) плавно нарастающий при тех же условиях.

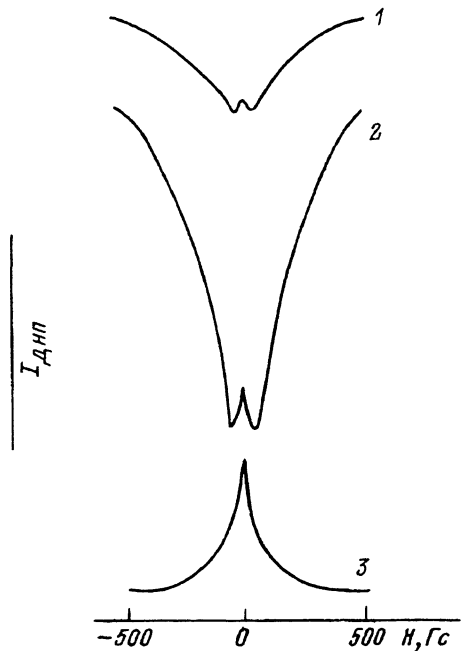


Рис. 1. Полевая зависимость ДНП.  
 $\theta$  — угол между осью кристалла с и полем  $H$ .  $\theta = 0$  (1),  $60^\circ$  (2),  $90^\circ$  (3).

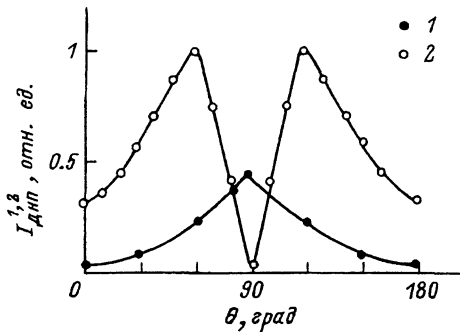


Рис. 2. Изменение амплитуды сигналов ДНП при вращении  $H$  в плоскости (ac).

1 — сигнал с резкой полевой зависимостью,  
2 — «平淡ный» сигнал.

Угловые зависимости указанных сигналов при изменении ориентации  $H$  в плоскости (ac) приведены на рис. 2. При вращении  $H$  в плоскости (ab) сигнал 2 отсутствовал, а сигнал 1 имел плавную зависимость интенсивности со слабо выраженным максимумом при  $\varphi = 60^\circ$  ( $\varphi$  — угол между  $H$  и осью a). От взаимной ориентации  $H$  и  $H_{ВЧ}$  сигналы не зависели. Увеличение частоты ВЧ поля ( $\nu_{ВЧ}$  изменялась в пределах 1–30 МГц), так же как и увеличение напряженностей  $H_{СВЧ}$  и  $H_{ВЧ}$ , приводило к резкому возрастанию сигнала 1, который практически подавлял сигнал 2. Во всех случаях ВЧ поле увеличивало СВЧ поглощение.

Механизм ДНП окончательно не установлен. Наличие в монокристалле двух компонент сигнала может быть предположительно объяснено следующим образом. Сигнал 1, имеющий резкую полевую зависимость, связан с потерями в слабых связях джозефсоновских контуров, подверженных действию постоянного магнитного поля. При этом джозефсоновская среда в монокристалле ВТСП может быть образована границами двойников или другими ориентированными дефектами. Сигнал 2 скорее всего обусловлен потерями на флюксонах основного объема кристалла. Обнаруженные ориентационные зависимости ДНП свидетельствуют о наличии в монокристалле ВТСП дефектов решетки, ориентированных определенным образом, и об анизотропии магнитных свойств монокристалла.

## Список литературы

- [1] Ищенко С.С., Коновалов В.И., Окулов С.М., Шанина Б.Д. //Тез. докл. I Всес. совещ. по высокотемпературной сверхпроводимости. Харьков, 1988. Т. 1. С. 187.
- [2] Окулов С.М., Ищенко С.С., Брик А.Б., Матяш И.В. //Радиоспектроскопия кристаллов с вазовыми переходами. Сборник научных трудов ИПМ. Киев, 1989. С. 151.
- [3] Ищенко С.С., Брик А.Б., Окулов С.М., Климов А.А. //ФТТ. 1990. Т. 32. № 10. С. 3128–3129.

Институт полупроводников АН Украины  
Киев

Поступило в Редакцию  
28 декабря 1992 г.

УДК 536.424:534.61

© Физика твердого тела, том 35, № 7, 1993  
*Solid State Physics, vol. 35, N 7, 1993*

## АКУСТИЧЕСКАЯ ЭМИССИЯ ПРИ ФАЗОВОМ ПЕРЕХОДЕ В КРИСТАЛЛАХ ТИТАНАТА БАРИЯ, ПОДВЕРГНУТЫХ ПОСЛЕДОВАТЕЛЬНОМУ ТРАВЛЕНИЮ

Е.А.Дулькин, В.Г.Гавриляченко, А.Ф.Семенчев

В работе [1] нами было обнаружено, что акустическая эмиссия (АЭ) при фазовом переходе в кристаллах титаната бария (ТБ) достигает наибольшей активности  $\dot{N}$  при перестройке доменной структуры (ДС), происходящей при температуре на несколько градусов ниже точки Кюри ( $T_c$ ). Эта перестройка характерна для пластинчатых кристаллов ТБ, выращенных по методу Ремейки [2,3]. В [4] было высказано предположение, что такие преобразования ДС обусловлены механическими напряжениями, возникающими между объемом и поверхностными дефектными слоями [5] кристаллов при приближении к  $T_c$ . Общеизвестно, что АЭ является следствием релаксации механических напряжений в твердых телах и, следовательно, может дать информацию о наличии таких напряжений.

Кроме того, несколько раньше перестройка ДС должна неизбежно приводить к определенным электрофизическими свойствам кристаллов. Действительно, в [6] наблюдалась аномалия в виде плато на кривой температурного хода диэлектрической проницаемости  $\varepsilon(T)$  на несколько градусов ниже  $T_c$ . Поэтому параллельные измерения  $\varepsilon$  в данной работе были весьма интересны.

Для того, чтобы выявить причину вышеуказанных преобразований ДС и аномалии  $\varepsilon$  в области фазового перехода (ФП), были проведены комплексные измерения АЭ,  $\varepsilon$  и наблюдение ДС последовательно стравливаемых кристаллов ТБ.

### 1. Методика

Исследования проводились на усовершенствованной установке, описанной в [1]. Кристалл с нанесенными электродами помещался на отполированном торце цилиндрического акустического волновода из кварцевого стекла, введенного снизу в печь, которая была установлена на шасси поляризационного микроскопа. К нижнему торцу волновода, находящемуся вне печи, приклеивался датчик АЭ из пьезокерамики ЦТС-19. Через боковые каналы в печь вводились электроды для измерения емкости